

Trabajo Fin de Máster

2018 – 2019

Simulación numérica del daño producido sobre el canal principal de un horno alto

Iván Martínez Suárez

Índice

- 1 Problema físico
- 2 Modelización matemática del daño en el hormigón
 - Modelización matemática del daño
 - Modelo de daño de Mazars para el hormigón
- 3 Simulación numérica
 - Test numérico
 - Problema del canal principal

Horno alto

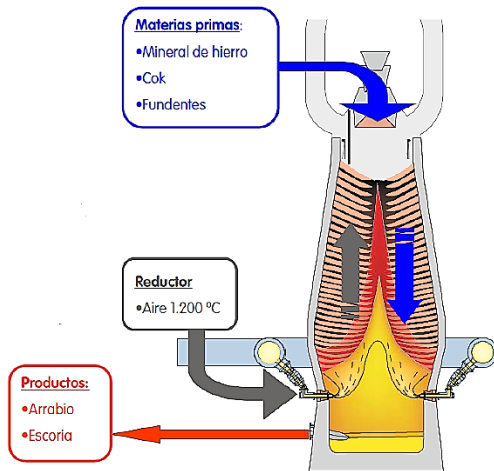


Figura: Esquema del horno alto (*Presentación de ArcelorMittal en el Taller de Problemas Industriales. 2018*).

Canal principal (I)

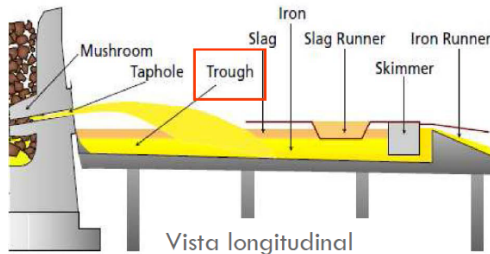


Figura: Vista longitudinal del canal principal del horno alto (Seoane Chouciño, 2016).

Canal principal (II)

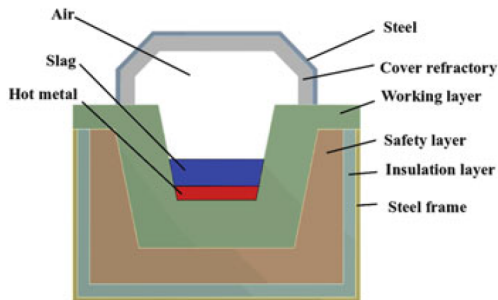


Figura: Vista transversal del canal principal del horno alto (Barral, Nicolás, Pérez-Pérez y Quintela, 2019).

Fenómenos causantes de daño (I)

Ataque químico y erosivo de la escoria

- Reacción química de los componentes del hormigón con los de la escoria
- Erosión debida al rozamiento del flujo de escoria con las paredes

Impacto del chorro de colada

- Chorro líquido saliente del alto horno impacta contra el refractario (Nicolás Ávila, 2017)
- Desprendimiento del revestimiento del hormigón y aumento de tensiones internas

Fenómenos causantes de daño (II)

Impacto termomecánico de la colada

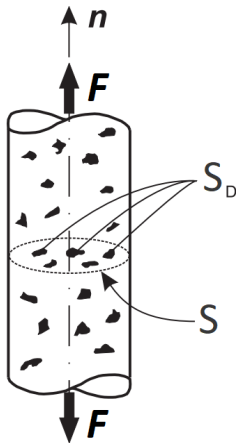
- Impacto térmico inicial
- Reducción del salto térmico: precalentamiento con mecheros
- La temperatura en los componentes sólidos alcanza el estado estacionario (Vázquez Fernández, 2015; Seoane Chouciño, 2016)
- Estudio del daño termomecánico con las temperaturas obtenidas en estado estacionario (Barral, Nicolás, Pérez-Pérez y Quintela, 2019)

Introducción

Consideraciones generales

- Hormigón más resistente a esfuerzos de compresión que de tracción (10 veces)
- Deformaciones plásticas no medibles antes de la fractura (Lemaitre y Chaboche, 1990; Lippmann y Lemaitre, 1996)
- Hormigón refractario: baja porosidad y proceso especial de secado
- Consideraremos deformaciones elásticas y térmicas

Daño isotrópico unidimensional (I)



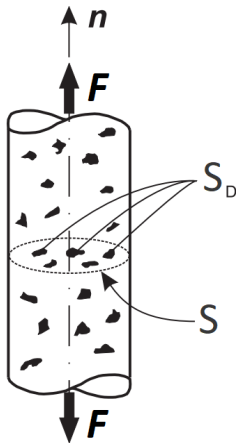
Variable interna de daño

$$D = \frac{S_D}{S}$$

- Densidad superficial efectiva de microdefectos
- $0 \leq D \leq 1$
- $D = 0$, material sin daño
- $D = 1$, ruptura del material

Figura: Elemento dañado
(Maßmann, 2009).

Daño isotrópico unidimensional (II)



Tensión uniaxial σ

$$\sigma = \frac{F}{S}$$

Tensión efectiva $\tilde{\sigma}$

$$\tilde{\sigma} = \frac{F}{S - S_D} = \frac{F/S}{1 - S_D/S} = \frac{\sigma}{1 - D}$$

- $\tilde{\sigma} \geq \sigma$
- $D = 0 \Rightarrow \tilde{\sigma} = \sigma$
- $D \rightarrow 1 \Rightarrow \tilde{\sigma} \rightarrow \infty$

Figura: Elemento dañado (Maßmann, 2009).

Daño isotrópico unidimensional (III)

Principio de equivalencia de las deformaciones

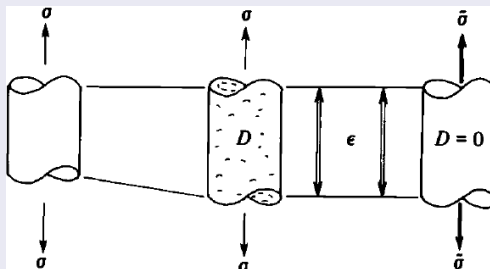


Figura: Principio de equivalencia (Lemaitre y Chaboche, 1990).

Elástico sin daño: ley de Hooke

$$\sigma = E \varepsilon^e$$

Elástico dañado

$$\sigma = (1 - D) E \varepsilon^e$$

Daño isótropo tridimensional

Generalización de conceptos unidimensionales

- Variable de daño

$$D = \frac{S_D}{S}$$

- Tensión efectiva

$$\tilde{\sigma} = \frac{\sigma}{1 - D}$$

- Principio de equivalencia de las deformaciones. Tensor de elasticidad con daño

$$\Lambda_D = (1 - D)\Lambda$$

Termoelasticidad lineal con daño

Ley de comportamiento termoelástica lineal isótropa con daño

$$\boldsymbol{\sigma} = \frac{(1 - D) E}{(1 + \nu)(1 - 2\nu)} [\nu \operatorname{tr}(\boldsymbol{\varepsilon}) \mathbf{I} + (1 - 2\nu) \boldsymbol{\varepsilon} - \alpha(\theta - \theta_0)(1 + \nu) \mathbf{I}]$$

Entropía para termoelasticidad lineal isótropa con daño

$$s = \frac{E\alpha(1 - D)}{\rho(1 - 2\nu)} \operatorname{tr}(\boldsymbol{\varepsilon}) + \left[\frac{3\alpha^2 ED}{\rho(1 - 2\nu)} + \frac{C_E}{\theta_0} \right] (\theta - \theta_0)$$

Tasa de liberación de energía de deformación debida al daño

$$\dot{Y} = \frac{1}{2} \boldsymbol{\Lambda} : [\boldsymbol{\varepsilon} - \alpha(\theta - \theta_0)] : [\boldsymbol{\varepsilon} - \alpha(\theta - \theta_0)]$$

Leyes de conservación

Ley de conservación de la energía

- Ecuación completa:

$$-\text{Div}(\vec{q}) = \rho C_E \dot{\theta} - Y \dot{D} - \theta \frac{\partial \sigma}{\partial \theta} : \dot{\epsilon} + \frac{\partial Y}{\partial \theta} \dot{D}$$

- Ley de Fourier:

$$\vec{q} = -\kappa \nabla \theta$$

- Régimen cuasiestático y disipación debida al daño despreciable:

$$\text{Div}(\kappa \nabla \theta) = \rho C_E \dot{\theta}$$

Ley de conservación de momentos

$$-\text{Div}(\sigma) = \vec{f}$$

Sistema de ecuaciones

Caso cuasiestático

$$\text{Div}(\kappa \nabla \theta) = \rho C_E \dot{\theta},$$

$$-\text{Div}(\boldsymbol{\sigma}) = \vec{f},$$

$$\boldsymbol{\sigma} = \frac{(1-D)E}{(1+\nu)(1-2\nu)} [\nu \text{tr}(\boldsymbol{\varepsilon}(\vec{u})) \mathbf{I} + (1-2\nu)\boldsymbol{\varepsilon}(\vec{u}) - \alpha(\theta - \theta_0)(1+\nu)\mathbf{I}].$$

- La ecuación térmica se resuelve de forma independiente
- Tenemos 10 ecuaciones y 11 incógnitas (\vec{u} , $\boldsymbol{\sigma}$, θ y D)
- Modelización de la variable de daño

Características del modelo de Mazars

Modelo original

- Daño isótropo (Mazars, 1984)
- Solo las deformaciones elásticas intervienen en el daño
- Comportamiento diferente a tensión y a compresión
- Mucho mayor peso de los esfuerzos a tensión en el daño

Modelo implementado en Code Aster

- Mayor importancia de los esfuerzos a compresión en el daño
- Mejor descripción de esfuerzos cortantes puros y bicompresión

Modelo de Mazars (I)

Deformación equivalente

- El factor γ confiere mayor peso a los esfuerzos compresivos
- Deformación equivalente:

$$\bar{\varepsilon}_{corr} = \gamma \sqrt{\sum_{i=1}^3 \langle \varepsilon_i \rangle_+^2}$$

Máxima deformación equivalente alcanzada en la historia de carga

$$K(t) = \max \left\{ \varepsilon_{D_0}, \max_{0 \leq s \leq t} [\bar{\varepsilon}_{corr}(s)] \right\}$$

Función de fluencia (criterio de daño)

$$f(\bar{\varepsilon}_{corr}, K) = \bar{\varepsilon}_{corr} - K,$$

Modelo de Mazars (II)

Condiciones de complementariedad (Kuhn–Tucker)

$$\dot{K}(t) \geq 0, \quad f(t) \leq 0, \quad \dot{K}(t)f(t) = 0, \quad \text{c.p.d. en } (0, t)$$

Evolución de la variable de daño

$$D(K) = 1 - \frac{\varepsilon_{D_0}}{K} (1 - A) - A \exp[-B(K - \varepsilon_{D_0})]$$

$$A = A(r; A_c, A_t, k)$$

$$B = B(r; B_c, B_t)$$

Parámetros del modelo de Mazars

- A_c, A_t, B_c, B_t, k y ε_{D_0}

Introducción de la deformación térmica en el modelo (I)

Consideraciones

- Deformaciones térmicas relevantes en el canal principal
- Code Aster no incluye modelos de daño térmico
- Disponemos del campo de temperaturas estacionario
- Seguimos la propuesta de Gawin (Gawin, Pesavento y Schrefler, 2002): el daño crece con la deformación total (elástica más térmica) de acuerdo con el modelo de Mazars

Introducción de la deformación térmica en el modelo (II)

Inclusión de la deformación térmica

- Deformación equivalente:

$$\bar{\varepsilon}_{corr} = \gamma \sqrt{\sum_{i=1}^3 \langle \varepsilon_i \rangle_+^2} = \gamma \sqrt{\sum_{i=1}^3 \langle \varepsilon_i^e + \varepsilon_i^{th} \rangle_+^2}$$

- Máxima deformación alcanzada:

$$K(t) = \max \left\{ \varepsilon_{D_0}, \max_{0 \leq s \leq t} [\bar{\varepsilon}_{corr}(s)] \right\}$$

- Evolución de la variable de daño:

$$D(K) = 1 - \frac{\varepsilon_{D_0}}{K} (1 - A) - A \exp[-B(K - \varepsilon_{D_0})]$$

- Los parámetros del modelo son función de la temperatura

Problema a resolver

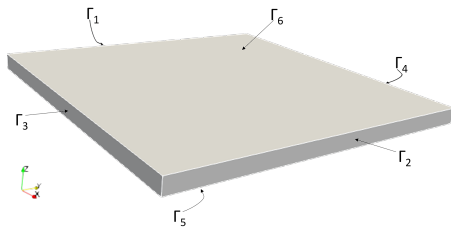
Dado el campo de temperaturas θ en Ω_s , resolver:

$$\begin{cases} -\text{Div}(\boldsymbol{\sigma}) = \vec{f}_\tau & \text{en } \Omega_s \times (0, 1], \\ \boldsymbol{\sigma} = \frac{(1-D)E}{(1+\nu)(1-2\nu)} [\nu \text{tr}(\boldsymbol{\varepsilon}(\vec{u})) \mathbf{I} + (1-2\nu)\boldsymbol{\varepsilon}(\vec{u}) - \alpha(\theta - \theta_0)(1+\nu)\mathbf{I}] & \text{en } \Omega_s \times (0, 1], \\ D = 1 - \frac{\varepsilon_{D_0}}{K}(1-A) - A \exp[-B(K - \varepsilon_{D_0})] & \text{en } \Omega_s \times (0, 1], \\ \dot{K} \geq 0, \quad \bar{\varepsilon}_{corr} - K \leq 0, \quad \dot{K}(\bar{\varepsilon}_{corr} - K) = 0 & \text{en } \Omega_s \times (0, 1], \end{cases}$$

con las condiciones iniciales y de contorno adecuadas.

- Para calcular el daño es necesaria la historia de carga
- El problema mecánico se resuelve de forma incremental
- Las cargas y las condiciones de contorno se aplican gradualmente con un parámetro $\tau \in (0, 1]$
- $\tau = 0$ corresponde al estado inicial descargado y $\tau = 1$ es el problema termoelástico que queremos resolver

Test numérico. Modelo térmico



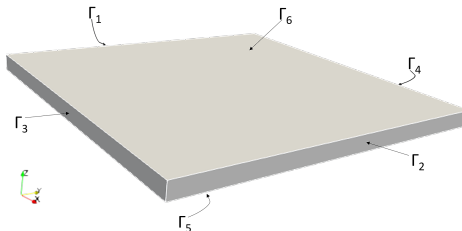
$$\left\{ \begin{array}{ll} \text{Div}(\kappa \nabla \theta) = 0 & \text{en } \Omega_s, \\ \theta = 600 \text{ } ^\circ\text{C} & \text{sobre } \Gamma_1, \\ \theta = 1600 \text{ } ^\circ\text{C} & \text{sobre } \Gamma_2, \\ \kappa \frac{\partial \theta}{\partial \vec{n}} = 0 & \text{sobre } \bigcup_{i=3}^6 \Gamma_i. \end{array} \right.$$

Solución para la temperatura:

$$\theta(x, y, z) = \theta(x) = 600 + 5x$$

Modelo termomecánico con daño (I)

$$\left\{ \begin{array}{ll}
 -\text{Div}(\boldsymbol{\sigma}) = \vec{f}\tau & \text{en } \Omega_s \times (0, 1], \\
 \boldsymbol{\sigma} = \frac{(1-D)E}{(1+\nu)(1-2\nu)} [\nu \text{tr}(\boldsymbol{\varepsilon}(\vec{u})) \mathbf{I} + (1-2\nu)\boldsymbol{\varepsilon}(\vec{u}) - \alpha(\theta - \theta_0)(1+\nu)\mathbf{I}] & \text{en } \Omega_s \times (0, 1], \\
 D = 1 - \frac{\varepsilon_{D_0}}{K}(1-A) - A \exp[-B(K - \varepsilon_{D_0})] & \text{en } \Omega_s \times (0, 1], \\
 \dot{K} \geq 0, \quad \bar{\varepsilon}_{corr} - K \leq 0, \quad \dot{K}(\bar{\varepsilon}_{corr} - K) = 0 & \text{en } \Omega_s \times (0, 1], \\
 u_x = -\frac{5}{2}\alpha(y^2 + z^2)\tau & \text{sobre } \Gamma_1 \times (0, 1], \\
 u_y = 0 & \text{sobre } \Gamma_3 \times (0, 1], \\
 u_z = 0 & \text{sobre } \Gamma_5 \times (0, 1], \\
 \boldsymbol{\sigma}\vec{n} = C(1-\nu)(580 + 5 \times 200)h(200)\tau\vec{e}_1 & \text{sobre } \Gamma_2 \times (0, 1], \\
 \boldsymbol{\sigma}\vec{n} = C\nu(580 + 5x)h(x)\tau\vec{e}_2 & \text{sobre } \Gamma_4 \times (0, 1], \\
 \boldsymbol{\sigma}\vec{n} = C\nu(580 + 5x)h(x)\tau\vec{e}_3 & \text{sobre } \Gamma_6 \times (0, 1], \\
 \vec{u}(0) = \vec{0}, \quad \boldsymbol{\sigma}(0) = \mathbf{0} & \text{en } \Omega_s, \\
 K(0) = \varepsilon_{D_0} & \text{en } \Omega_s.
 \end{array} \right.$$



Modelo termomecánico con daño (II)

Densidad de fuerzas de volumen

$$\vec{f} = \begin{cases} -5C(1-\nu)\vec{e}_1 & \text{si } x \leq x_D, \\ -5C(1-\nu)[1-g(x)]\exp[-g(x)+1,8]\vec{e}_1 & \text{si } x > x_D, \end{cases}$$

donde

$$C = \frac{E\alpha}{10(1+\nu)(1-2\nu)},$$

$$g(x) = 900\sqrt{321}\alpha(580+5x),$$

y

$$x_D = \frac{1}{5} \left(\frac{2 \times 10^4}{\sqrt{321}} - 580 \right) \approx 107,26 \text{ m.}$$

$$h(x) = \begin{cases} 1 & \text{si } x \leq x_D, \\ \exp[-g(x)+1,8] & \text{si } x > x_D. \end{cases}$$

Parámetros

Parámetro	Valor	Parámetro	Valor
E	$20 \times 10^9 \text{ Pa}$	A_t	1
ν	0,2	B_c	10^3
A_c	1,4	B_t	9×10^3
k	0,7	ε_{D_0}	2×10^{-4}
α	$10^{-7} \text{ }^\circ\text{C}^{-1}$	κ	$1 \text{ W m}^{-1} \text{ }^\circ\text{C}^{-1}$

Solución analítica

Campo de desplazamientos ($\tau = 1$)

$$\begin{cases} u_x(x, y, z) = \frac{11}{10}\alpha \left(580x + \frac{5}{2}x^2 \right) - \frac{5}{2}\alpha (y^2 + z^2) \\ u_y(x, y) = \alpha (580y + 5xy) \\ u_z(x, z) = \alpha (580z + 5xz) \end{cases}$$

Variable de daño ($\tau = 1$)

$$D(x) = \begin{cases} 0 & \text{si } x \leq x_D, \\ 1 - \exp \left[-9000 \left(\frac{\sqrt{321}}{10} \alpha (580 + 5x) - 2 \times 10^{-4} \right) \right] & \text{si } x > x_D. \end{cases}$$

Tensor de tensiones ($\tau = 1$)

$$\sigma(x) = C (580 + 5x) h(x) \begin{pmatrix} 1 - \nu & 0 & 0 \\ 0 & \nu & 0 \\ 0 & 0 & \nu \end{pmatrix}.$$

Resultados (I)

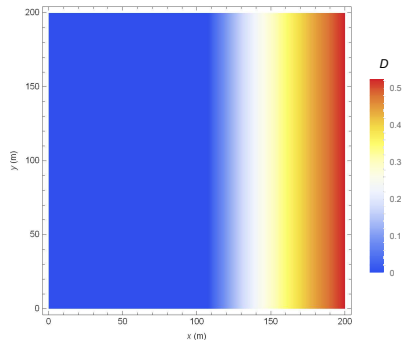
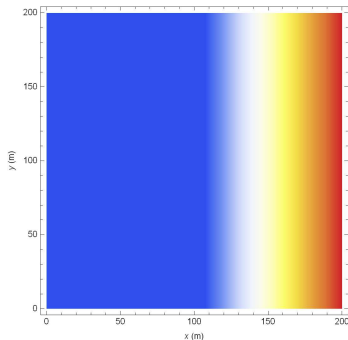


Figura: Distribución analítica de daño (izquierda) y distribución numérica de daño (derecha) en el plano $z = 10$ m.

Resultados (II)

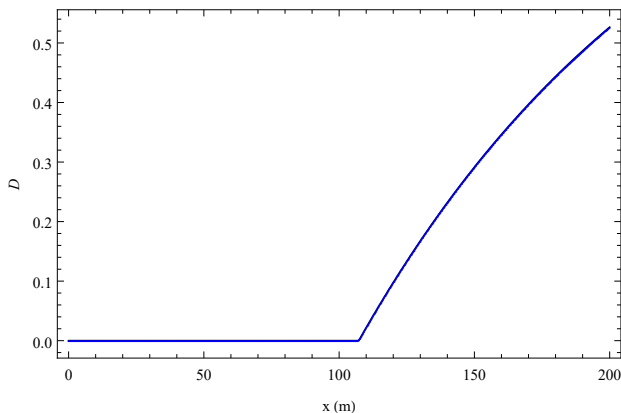


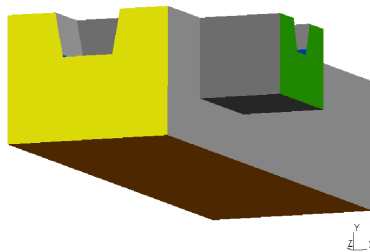
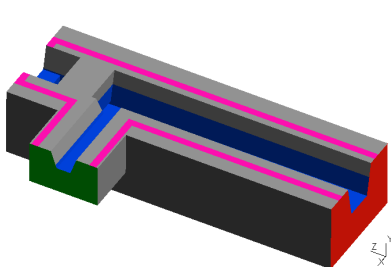
Figura: Variable de daño a lo largo de la línea con $y = 100$ m y $z = 5$ m.

Resultados (III)

Variable	Error
θ	$7,8 \times 10^{-17}$
\vec{u}	$9,8 \times 10^{-5}$
ϵ	$7,0 \times 10^{-5}$
σ	$1,3 \times 10^{-3}$
D	$4,8 \times 10^{-4}$

Tabla: Errores relativos en norma 2 ($\tau = 1$).

Problema del canal principal. Fronteras



- Γ_1 (marrón): la base del canal principal,
- Γ_2 (rosa): la parte donde se apoya la cubierta,
- Γ_3 (azul): la zona por donde discurren el arrabio y la escoria,
- Γ_4 (verde): la zona de salida de la ruta de la escoria,
- Γ_5 (rojo): la mitad del canal principal,
- Γ_6 (amarillo): la parte final del canal, detrás del *skimmer*,
- Γ_R (gris): las demás fronteras.

Problema mecánico

$$\left\{ \begin{array}{ll}
 -\text{Div}(\boldsymbol{\sigma}) = \vec{f}\tau & \text{en } \Omega_s \times (0, 1], \\
 \boldsymbol{\sigma} = \frac{(1-D)E}{(1+\nu)(1-2\nu)} [\nu \text{tr}(\boldsymbol{\varepsilon}(\vec{u})) \mathbf{I} + (1-2\nu)\boldsymbol{\varepsilon}(\vec{u})] & \text{en } \Omega_s \times (0, 1], \\
 D = 1 - \frac{\varepsilon_{D_0}}{K}(1-A) - A \exp[-B(K - \varepsilon_{D_0})] & \text{en } \Omega_s \times (0, 1], \\
 \dot{K} \geq 0, \quad \bar{\varepsilon}_{\text{corr}} - K \leq 0, \quad \dot{K}(\bar{\varepsilon}_{\text{corr}} - K) = 0 & \text{en } \Omega_s \times (0, 1], \\
 \vec{u} = \vec{0} & \text{sobre } \Gamma_1 \times (0, 1], \\
 u_x = 0, \quad \vec{\sigma}_t = \vec{0} & \text{sobre } \Gamma_4 \times (0, 1], \\
 u_z = 0, \quad \vec{\sigma}_t = \vec{0} & \text{sobre } \Gamma_5 \times (0, 1], \\
 \boldsymbol{\sigma} \vec{n} = -P\tau \vec{e}_2 & \text{sobre } \Gamma_2 \times (0, 1], \\
 \boldsymbol{\sigma} \vec{n} = -h(y)\tau \vec{n} & \text{sobre } \Gamma_3 \times (0, 1], \\
 \boldsymbol{\sigma} \vec{n} = \vec{0} & \text{sobre } (\Gamma_6 \cup \Gamma_R) \times (0, 1], \\
 \vec{u}(0) = \vec{0} & \text{en } \Omega_s, \\
 K(0) = \varepsilon_{D_0} & \text{en } \Omega_s.
 \end{array} \right.$$

Cargas aplicadas

Fuerza de la gravedad

$$\vec{f} = -\rho g \vec{e}_2 \quad (g = 9,8 \text{ m s}^{-2}).$$

Presión ejercida por la cubierta

$$P = \frac{g}{A_2} (\rho_A V_A + \rho_H V_H) \approx 6,40587 \times 10^4 \text{ N m}^{-2} \text{ (dirección } -\vec{e}_2\text{)}.$$

Presión ejercida por los fluidos

$$h(y) = \begin{cases} 20619,7 - 68747y & \text{si } y < 0,1565 \text{ m,} \\ 13848,4 - 25480y & \text{si } 0,1565 \text{ m} \leq y \leq 0,5435 \text{ m,} \\ 0 & \text{si } y > 0,5435 \text{ m,} \end{cases}$$

que se aplica en la dirección normal interior a Γ_3 .

Parámetros

- Problema: la empresa está realizando una campaña de medidas pero todavía no disponemos de parámetros mecánicos
- Material único para todo el canal

Parámetro	Valor	Parámetro	Valor
E	10^9 Pa	A_t	1
ν	0,2	B_c	10^3
A_c	1,4	B_t	9×10^3
k	0,7	ε_{D_0}	9×10^{-5} (θ ambiente) 9×10^{-3} (θ elevada)
α	$5,3 \times 10^{-6} \text{ }^\circ\text{C}^{-1}$	ρ	3210 kg m^{-3}

Resultados

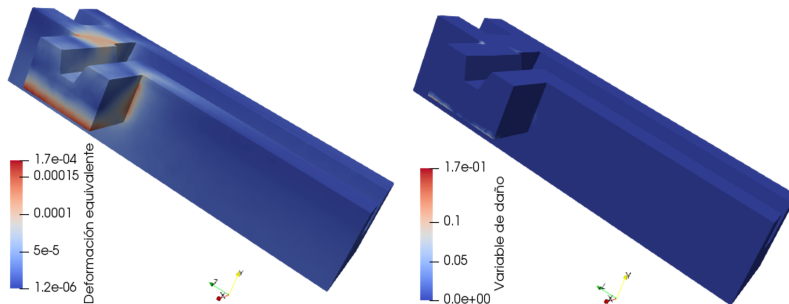
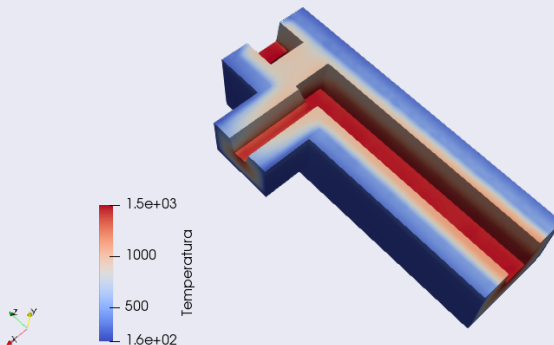


Figura: Deformación equivalente corregida (izquierda) y variable de daño (derecha) a lo largo del canal.

Problema termomecánico (I)

Campo de temperaturas

Distribución estacionaria de temperaturas conocida (Barral, Nicolás, Pérez-Pérez y Quintela, 2019)



Problema termomecánico (II)

$$\left\{ \begin{array}{ll}
 -\text{Div}(\boldsymbol{\sigma}) = \vec{f}\tau & \text{en } \Omega_s \times (0, 1], \\
 \boldsymbol{\sigma} = \frac{(1-D)E}{(1+\nu)(1-2\nu)} [\nu \text{tr}(\boldsymbol{\varepsilon}(\vec{u})) \mathbf{I} + (1-2\nu)\boldsymbol{\varepsilon}(\vec{u}) - \alpha(\theta - \theta_0)(1+\nu)\mathbf{I}] & \text{en } \Omega_s \times (0, 1], \\
 D = 1 - \frac{\varepsilon_{D_0}}{K}(1-A) - A \exp[-B(K - \varepsilon_{D_0})] & \text{en } \Omega_s \times (0, 1], \\
 \dot{K} \geq 0, \quad \bar{\varepsilon}_{\text{corr}} - K \leq 0, \quad \dot{K}(\bar{\varepsilon}_{\text{corr}} - K) = 0 & \text{en } \Omega_s \times (0, 1], \\
 \vec{u} = \vec{0} & \text{sobre } \Gamma_1 \times (0, 1], \\
 u_x = 0, \quad \vec{\sigma}_t = \vec{0} & \text{sobre } \Gamma_4 \times (0, 1], \\
 u_z = 0, \quad \vec{\sigma}_t = \vec{0} & \text{sobre } \Gamma_5 \times (0, 1], \\
 \boldsymbol{\sigma}\vec{n} = -P\tau\vec{e}_2 & \text{sobre } \Gamma_2 \times (0, 1], \\
 \boldsymbol{\sigma}\vec{n} = -h(y)\tau\vec{n} & \text{sobre } \Gamma_3 \times (0, 1], \\
 \boldsymbol{\sigma}\vec{n} = \vec{0} & \text{sobre } (\Gamma_6 \cup \Gamma_R) \times (0, 1], \\
 \vec{u}(0) = \vec{0}, \quad \boldsymbol{\sigma}(0) = \mathbf{0} & \text{en } \Omega_s, \\
 K(0) = \varepsilon_{D_0} & \text{en } \Omega_s.
 \end{array} \right.$$

Resultados

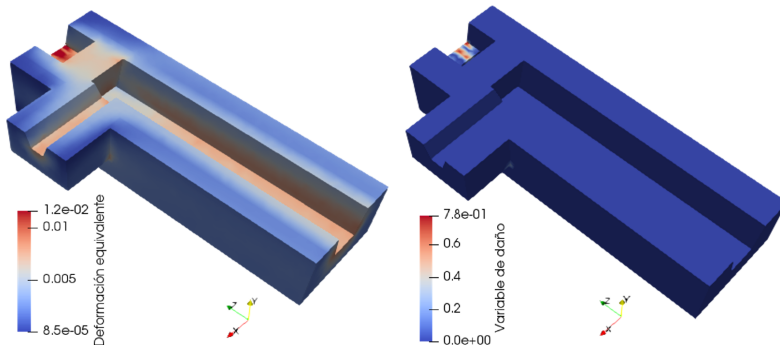


Figura: Deformación equivalente corregida (izquierda) y variable de daño (derecha) a lo largo del canal.

Conclusiones y futuras líneas de investigación

Conclusiones

- Modelización y simulación numérica de un problema de termoelasticidad con daño en el canal de un horno alto
- Es necesario disponer de parámetros mecánicos para los distintos materiales del canal para validar los resultados

Futuras líneas de investigación

- Análisis del daño térmico considerado de forma independiente al mecánico (Damhof, W.A.M. Brekelmans y Geers, 2008). Resolución del problema térmico evolutivo
- Análisis de modelos de daño no local (Peerlings, Borst y W. Brekelmans, 1995)